Краткие сообщения Brief reports

Краткое сообщение УДК546.185+547.53.024+548.312.2 DOI: 10.14529/chem250319

РЕАКЦИЯ БЕНЗОАТА ТЕТРАФЕНИЛФОСФОРА С БЕНЗОЙНОЙ КИСЛОТОЙ

В.В. Шарутин[™]

Южно-Уральский государственный университет, Челябинск, Россия
[™] sharutin50@mail.ru

Аннотация. Взаимодействием эквимолярных количеств бензоата тетрафенилфосфора и бензойной кислоты в бензоле получен с выходом 62 % аддукт бензоата тетрафенилфосфора с бензойной кислотой (1) [растворимые в ароматических углеводородах и полярных органических растворителях бесцветные кристаллы с т. пл. = 135 °C, которые были идентифицированы методами ИК-спектроскопии и рентгеноструктурного анализа (РСА)]. В ИК-спектре аддукта 1 колебания групп Р-С_{рь} наблюдаются в виде интенсивной полосы с частотой поглощения 1438 см⁻¹, а полосы средней интенсивности при 995 и 1024 см⁻¹ отвечают деформационным колебаниям связей (P-С_{Ph}). Наличие в ИК-спектре полученного комплекса двух интенсивных полос поглощения в области валентных колебаний карбонильных групп (1639 и 1703 см⁻¹), свидетельствует о присутствии в аддукте двух неэквивалентных карбонильных групп. РСА проводили на дифрактометре D8 QUEST фирмы Bruker. По данным PCA, аддукт 1 [С₇₆H₆₂O₈P₂, M = 1165,2; триклинная сингония, пр. гр. P-1; параметры ячейки: a = 9,771(8) Å, b = 15,461(17) Å, $c = 21,700(19) \text{ Å}; \ \alpha = 81,42(4)^{\circ}, \ \beta = 81,34(3)^{\circ}, \ \gamma = 74,07(4)^{\circ}, \ V = 3096(5) \text{ Å}^3, \ Z = 2; \ \rho_{\text{выч}} = 1,250 \text{ г/см}^3;$ $\mu = 0.129 \text{ мм}^{-1}$; F(000) = 1224.0; обл. сбора по 2θ : $5.74-49.5^{\circ}$; $-11 \le h \le 11, -18 \le k \le 18, -25 \le l \le 25$; всего отражений 56155; независимых отражений 10540 ($R_{\text{int}} = 0,1040$); GOOF = 1,044; $R_1 = 0,0691$] имеет ионное строение и состоит из двух типов кристаллографически независимых тетрафенилфосфониевых катионов с несколько искаженной тетраэдрической координацией атома фосфора [углы СРС варьируют в интервалах 106,28(16)-112,56(17)° (1а), 106,15(16)-112,03(17)° (16), расстояния Р-С равны 1,782(3)-1,800(4) (1a), 1,784(4)-1,794(3) Å (16)] и двух типов бензоатных анионов, в которых связи C-O составляют: C(107)-O(5) 1,250(5) Å и C(107)-O(6) 1,227(5) Å (1a), C(87)-O(1) 1,297(5) Å и C(87)-O(2) 1,216(4) Å (16)]. Валентные углы в анионах O(6)C(107)O(5) (1a) и O(2)C(87)O(1) (1б) равны 125,9(4) и $123,6(4)^{\circ}$ соответственно. Следует отметить, что сольватные молекулы бензойной кислоты попарно связаны с бензоатными анионами водородными связями С-СООН (О)Рh (1,375 и 1,395 Å). Полные таблицы координат атомов, длин связей и валентных углов депонированы в Кембриджском банке структурных данных (№ 1983589; deposit@ccdc.cam.ac.uk или http://www.ccdc.cam.ac.uk/data_request/cif).

Ключевые слова: аддукт, бензоат тетрафенилфосфора, бензойная кислота, синтез, строение

Для цитирования: Шарутин В.В. Реакция бензоата тетрафенилфосфора с бензойной кислотой // Вестник ЮУрГУ. Серия «Химия». 2025. Т. 17, № 3. С. 182–187. DOI: 10.14529/chem250319

[©] Шарутин В.В., 2025.

Brief report

DOI: 10.14529/chem250319

REACTION OF TETRAPHENYLPHOSPHORUS BENZOATE WITH BENZOIC ACID

V.V. Sharutin[™]

> Abstract. The interaction of equimolar amounts of tetraphenylphosphorus benzoate and benzoic acid in benzene gave an adduct of tetraphenylphosphorus benzoate with benzoic acid (1) yielding 62% [colorless crystals with m.p. = 135 °C, soluble in aromatic hydrocarbons and polar organic solvents, which were identified by IR spectroscopy and X-ray diffraction analysis (XRD)]. In the IR spectrum of adduct 1, vibrations of the P-C_{Ph} groups are observed as an intense band with an absorption frequency of 1438 cm⁻¹, while the medium intensity bands at 995 and 1024 cm⁻¹ correspond to deformation vibrations of the (P-C_{ph}) bonds. The presence in the IR spectrum of the obtained complex of two intense absorption bands in the region of stretching vibrations of carbonyl groups (1639 and 1703 cm⁻¹) indicates the presence of two nonequivalent carbonyl groups in the adduct. XRD was performed on a D8 QUEST Bruker diffractometer. According to the X-ray diffraction data, adduct 1 [$C_{76}H_{62}O_8P_2$, M = 1165.2; triclinic syngony, space group P-1; cell parameters: a = 9.771(8) Å, b = 15.461(17) Å, c = 21.700(19) Å; $\alpha = 81.42(4)^\circ$, $\beta = 81.34(3)^{\circ}$, $\gamma = 74.07(4)^{\circ}$, V = 3096(5) Å³, Z = 2; $\rho_{calc} = 1.250$ g/cm³; $\mu = 0.129$ mm⁻¹; F(000) = 1.251224.0; collection range by 20: 5.74–49.5°; $-11 \le h \le 11$, $-18 \le k \le 18$, $-25 \le l \le 25$; total reflections 56155; independent reflections 10540 ($R_{int} = 0.1040$); GOOF = 1.044; $R_1 = 0.0691$] has an ionic structure and consists of two types of crystallographically independent tetraphenylphosphonium cations with a slightly distorted tetrahedral coordination of the phosphorus atom (the CPC angles vary within $106.28(16) - 112.56(17)^{\circ}$ (1a), $106.15(16) - 112.03(17)^{\circ}$ (1b), the P-C distances are $1.782(3) - 112.03(17)^{\circ}$ 1.800(4) Å (1a), 1.784(4)-1.794(3) Å (1b)] and two types of benzoate anions, in which the C-O bonds are: C(107)-O(5) 1,250(5) Å and C(107)-O(6) 1.227(5) Å (1a), C(87)-O(1) 1,297(5) Å and C(87)-O(2) 1.216(4) Å (1b). The bond angles in anions O(6)C(107)O(5) (1a) and O(2)C(87)O(1) (1b) are 125.9(4)and 123.6(4)°, respectively. It should be noted that the solvate molecules of benzoic acid are pairwise linked with the benzoate anions by hydrogen bonds C-COOH···OC(O)Ph (1.375 and 1.395 Å). Complete tables of atomic coordinates, bond lengths and bond angles are deposited in Cambridge Structural Data Centre (no. 1983589; deposit@ccdc.cam.ac.uk or http://www.ccdc.cam.ac.uk/data_request/cif).

Keywords: adduct, tetraphenylphosphorus benzoate, benzoic acid, synthesis, structure

For citation: Sharutin V.V. Reaction of tetraphenylphosphorus benzoate with benzoic acid. Bulletin of the South Ural State University. Ser. Chem. 2025;17(3): 182–187 (In Russ.) DOI: 10.14529/chem250319

Введение

Методы получения и особенности строения органических соединений пятиковалентного фосфора достаточно хорошо известны и описаны в литературе [1–19]. Отметим, что для органических производных пятивалентной сурьмы, являющихся аналогами фосфорорганических производных, подобные примеры известны [20, 21]. Показано также, что соли тетраарилсурьмы могут реагировать с избыточным количеством кислоты в реакционной смеси. Действительно, ацетат и нитрат тетрафенилсурьмы с эквимолярными количествами уксусной и азотной кислот образуют соответствующие аддукты $Ph_4SbOC(O)CH_3 \cdot CH_3C(O)OH$ и $Ph_4SbONO_2 \cdot HNO_3$ [22, 23]. С целью изучения подобных реакций в ряду арильных соединений пятивалентного фосфора изучено взаимодействие эквимолярных количеств бензоата тетрафенилфосфора с бензойной кислотой в бензоле.

Экспериментальная часть

Синтез аддукта бензоата тетрафенилфосфора с бензойной кислотой [Ph₄P][OC(O)Ph]·HOC(O)Ph (1). Смесь 230 мг (0,5 ммоль) бензоата тетрафенилфосфора и 61 мг (0,5 ммоль) бензойной кислоты в 3 мл бензола нагревали в запаянной ампуле на водяной бане при 80 °C в течение часа. После охлаждения к смеси прибавляли 0,5 мл октана и концентрирова-

ли раствор до объема 0,5 мл. Выпавшие бесцветные кристаллы отфильтровывали и сушили на воздухе. Получили 180 мг (62 %) соединения **1** с т. пл. 135 °C. ИК-спектр, ν , см⁻¹ : 3502, 3475, 3448, 3427, 3080, 3059, 2956, 2924, 2852, 1703, 1691, 1598, 1585, 1550, 1483, 1438, 1367, 1315, 1276, 1193, 1166, 1109, 1064, 1024, 995, 935, 854, 817, 790, 761, 752, 719, 692, 659, 615, 528, 501, 435, 418. Найдено, %: С 78,32; H 5,50. $C_{76}H_{62}O_8P_2$. Вычислено, %: С 78,27; H 5,32.

ИК-спектр соединения **1** записывали на ИК-спектрометре Shimadzu IR Affinity-1S в таблетках KBr в области 4000-400 см⁻¹.

Рентгеноструктурный анализ кристалла соединения 1 проведен на дифрактометре D8 QUEST фирмы Bruker (МоКα-излучение, λ = 0,71073 Å, графитовый монохроматор) при 296(2) К. Сбор, редактирование данных и уточнение параметров элементарной ячейки, а также учет поглощения проведены по программам SMART и SAINT-Plus [24]. Все расчеты по определению и уточнению структуры выполнены по программам SHELXL/PC [25], OLEX2 [26]. Структура определена прямым методом и уточнена методом наименьших квадратов в анизотропном приближении для неводородных атомов. Кристаллографические данные и результаты уточнения структуры приведены в табл. 1, основные длины связей и валентные углы − в табл. 2. Полные таблицы координат атомов, длин связей и валентных углов депонированы в Кембриджском банке структурных данных (№ 983589; deposit@ccdc.cam.ac.uk или http://www.ccdc.cam.ac.uk/data request/cif).

Таблица 1 Кристаллографические данные, параметры эксперимента и уточнения структуры 1

Параметр	1	
Стехиометрическая формула	$C_{76}H_{62}O_8Sb_2$	
M	1165,20	
Сингония	Триклинная	
Пространственная группа	<i>P</i> –1	
	9,771(8)	
<i>a</i> , Å <i>b</i> , Å	15,461(17)	
c, Å	21,700(19)	
α, град.	81,42(4)	
β, град.	81,34(3)	
	74,07(4)	
γ , град. V , $\mathring{\mathrm{A}}^3$	3096(5)	
Z	2	
$ ho_{ m выч}, ho'{ m cm}^3$	1,250	
μ, мм ⁻¹	0,129	
F(000)	1224,0	
Размер кристалла, мм	$0.6 \times 0.12 \times 0.06$	
Диапазон сбора данных по 20, град.	5,74–49,5	
Диапазон индексов	$-11 \le h \le 11, -18 \le k \le 18, -25 \le l \le 25$	
Число измеренных рефлексов	56155	
Чисто независимых рефлексов	10540	
R _{int}	0,1040	
GOOF	1,044	
Число параметров	330	
R -факторы по $I > 2\sigma(I)$	$R_1 = 0.0691, wR_2 = 0.1215$	
<i>R</i> -факторы по всем рефлексам	$R_1 = 0.1333, wR_2 = 0.1431$	
Остаточная электронная плотность (max/min), e/A ³	0,29/-0,33	

Таблица 2

Длины связей и валентные углы в структуре 1

Связь	d, Å	Угол	ω, град.
P(1)-C(31)	1,791(4)	C(21)–P(1)–C(1)	112,56(17)
P(1)–C(1)	1,798(4)	C(21)–P(1)–C(11)	110,72(16)
P(1)–C(11)	1,800(4)	C(11)–P(1)–C(1)	106,79(16)
P(1)–C(21)	1,782(3)	C(31)–P(1)–C(1)	109,63(16)
P(2)-C(41)	1,794(3)	C(31)–P(1)–C(21)	106,28(16)
P(2)–C(71)	1,786(4)	C(31)–P(1)–C(11)	110,91(17)
P(2)–C(51)	1,784(4)	O(6)–C(107)–O(5)	125,9(4)
P(2)-C(61)	1,785(4)	C(51)–P(2)–C(61)	112,03(17)
H(1)···O(1)	1,375(8)	C(41)–P(2)–C(51)	106,15(16)
H(5A)···O(5)	1,398(8)	C(41)–P(2)–C(61)	110,39(16)
C(107)–O(5)	1,250(5)	C(41)-P(2)-C(71)	110,23(17)
C(107)-O(6)	1,227(5)	C(71)–P(2)–C(51)	111,82(17)
C(87)-O(1)	1,297(5)	C(71)–P(2)–C(61)	106,29(16)
C(87)-O(6)	1,216(4)	O(2)-C(87)-O(1)	123,6(4)

Обсуждение результатов

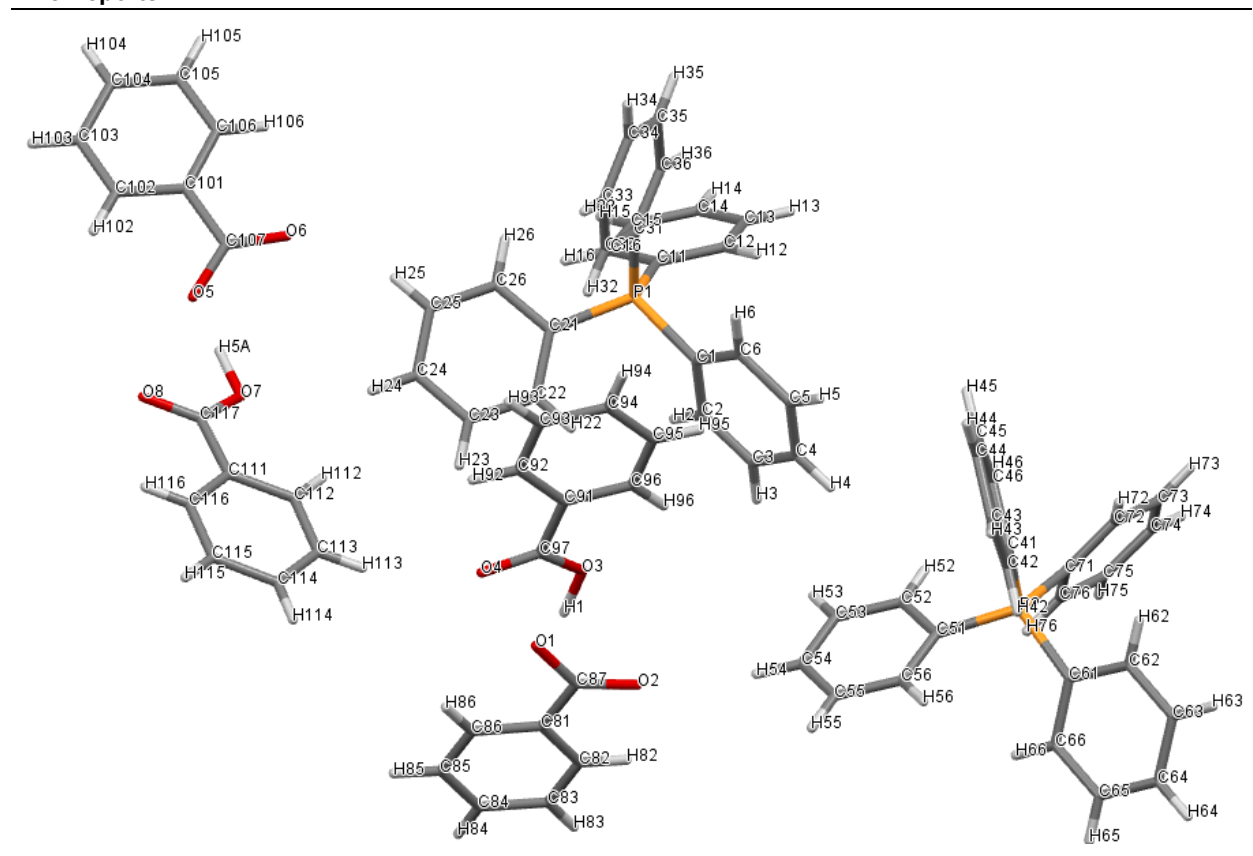
Известно, что реакция пентафенилфосфора с двумя эквивалентами бензойной кислоты в бензоле протекает с образованием аддукта $Ph_4POC(O)Ph \cdot PhC(O)OH$ [7], синтез которого, как предполагается, проходит вначале с отщеплением бензола от пентафенилфосфора и последующем присоединении к образующемуся бензоату тетрафенилфосфора второго эквивалента бензойной кислоты. Для подтверждения этой гипотезы было исследовано взаимодействие эквимолярных количеств бензоата тетрафенилфосфора с бензойной кислотой в бензоле. Найдено, что единственным продуктом этой реакции являлся аддукт бензоата тетрафенилфосфора с бензойной кислотой (1), выделенный из реакционной смеси с выходом 62 %.

$$\begin{array}{cccc} & & & & & & \\ Ph_4POC(O)Ph & + & PhC(O)OH & & \rightarrow & Ph_4POC(O)Ph \cdot PhC(O)OH \\ & & & & & & & & \\ \hline & & & & & & \\ \end{array}$$

Наличие в ИК-спектре полученного комплекса двух интенсивных полос поглощения в области валентных колебаний карбонильных групп (1639 и 1703 см $^{-1}$), свидетельствует о присутствии в аддукте двух неэквивалентных карбонильных групп [27]. В ИК-спектре 1 также присутствуют полосы поглощения валентных колебаний фрагмента SbC₄ при 457, 445 см $^{-1}$ и полосы валентных колебаний углеродного скелета арильных групп (1477, 1436 см $^{-1}$). Валентным колебаниям связей C_{Ar} —Н отвечают полосы поглощения средней интенсивности при 3107 и 3061 см $^{-1}$, а внеплоскостным деформационным колебаниям этих же связей – интенсивные полосы при 732 и 702 см $^{-1}$.

С целью подтверждения строения комплекса ${\bf 1}$ было проведено его рентгеноструктурное исследование. По данным рентгеноструктурного анализа атомы фосфора в двух кристаллографически независимых катионах ${\bf 1}$ имеют тетрагональную координацию (см. рисунок).

По данным РСА, в кристалле присутствуют два типа (\mathbf{a} и $\mathbf{6}$) кристаллографически независимых ионных пар и два типа сольватных кристаллографически независимых молекул бензойной кислоты. Катионы тетрафенилфосфония имеют малоискаженную тетраэдрическую конфигурацию. Валентные углы СРС изменяются в интервалах $106,28(16)-112,56(17)^{\circ}$ ($\mathbf{1a}$), $106,15(16)-112,03(17)^{\circ}$ ($\mathbf{16}$). Расстояния Р–С равны 1,782(3)-1,800(4) Å ($\mathbf{1a}$), 1,784(4)-1,794(3) Å ($\mathbf{16}$). В карбоксилатанионах связи С–О несколько отличаются и составляют для $\mathbf{1a}$ [C(107)–O(5) 1,250(5) Å и C(107)–O(6) 1,227(5) Å] и для $\mathbf{16}$ [С(87)–O(1) 1,297(5) Å и C(87)–O(2) 1,216(4) Å]. Валентные углы при карбоксильных атомах углерода в анионах O(6)C(107)O(5) ($\mathbf{1a}$) и O(2)C(87)O(1) ($\mathbf{16}$) равны 125,9(4) и $123,6(4)^{\circ}$ соответственно. Отметим, что сольватные молекулы бензойной кислоты попарно связаны с бензоатными анионами водородными связями C-COOH···OC(O)Ph (1,375 и 1,395 Å).



Строение аддукта бензоата тетрафенилфосфора с бензойной кислотой (1)

Выводы

Таким образом, взаимодействием бензоата тетрафенилфосфора с бензойной кислотой в бензоле с выходом 62 % получен аддукт бензоата тетрафенилфосфора с бензойной кислотой (1). По данным РСА кристалл 1 состоит из двух типов кристаллографически независимых тетрафенилфосфониевых катионов с несколько искаженной тетраэдрической координацией атома фосфора, двух типов бензоатных анионов и двух типов кристаллографически независимых сольватных молекул бензойной кислоты, которые связаны с бензоатными анионами водородными связями C-COOH···OC(O)Ph (1,375 и 1,395 Å).

Список источников

- 1. Wheatley P.J. // Chem. Soc. 1964. P. 2206. DOI: 10.1039/JR9640002206
- 2. *Шарутин В.В., Бычков В.Т., Лебедев В.А. и др.* // Журн. общ. химии. 1986. Т. 56, № 2. C. 325. EDN: ZSMQSC
- 3. *Razuvaev G.A.*, *Osanova N.A.*, *Brilkina T.G. et al.* // J. Organometal. Chem. 1975. V. 99, № 1. P. 93. DOI: org/10.1016/S0022- 328X(00)8636
- 4. *Шарутин В.В., Сенчурин В.С., Шарутина О.К., Бояркина Е.А.* // Журн. общ. химии. 2009. Т. 79, № 1. С. 80. EDN: ZSWLTS
- 5. *Шарутина О.К., Губанова Ю.О., Рыбакова А.В.* // Вестник ЮУрГУ. Серия «Химия». 2019. Т. 11, № 1. С. 68. DOI: 10.14529/chem190108.
- 6. *Шарутин В.В., Мукушева Н., Уржумова А.В.* // Вестник ЮУрГУ. Серия «Химия». 2018. Т. 10, № 2. С. 48. DOI: 10.14529/chem180206
- 7. *Рыбакова А.В.* // Вестник ЮУрГУ. Серия «Химия». 2020. Т. 12, № 3. С. 88. DOI: 10.14529/chem200304
- 8. *Зыкова А.Р.* // Вестник ЮУрГУ. Серия «Химия». 2020. Т. 12, № 4. С. 5. DOI: 10.14529/chem200401

- 9. *Рыбакова А.В.* // Вестник ЮУрГУ. Серия «Химия». 2020. Т. 12, № 2. С. 16. DOI: 10.14529/chem200202
- 10. *Губанова Ю.О.*, *Шарутина О.К.* // Вестник ЮУрГУ. Серия «Химия». 2020. Т. 12, № 3. С. 79. DOI: 10.14529/chem200303
- 11. *Зыкова А.Р.* // Вестник ЮУрГУ. Серия «Химия». 2021. Т. 13, № 1. С. 31. DOI: 10.14529/chem210103
- 12. *Шарутин В.В.* // Вестник ЮУрГУ. Серия «Химия». 2021. Т. 13, № 4. С. 55. DOI: 10.14529/chem210403
- 13. *Ефремов А.Н.*, *Шарутин В.В.* // Вестник ЮУрГУ. Серия «Химия». 2022. Т. 14, № 3. С. 34. DOI: 10.14529/chem220304
- 14. *Шарутин В.В., Механошина Е.С., Головин М.С.* // Вестник ЮУрГУ. Серия «Химия». 2024. Т. 16, № 1. С. 68. DOI: 10.14529/chem240104
- 15. Yang G.-D., Dai J.-C., Wu W.-S. et al. // Acta Crystallogr. Sect. E: Struct. Rep. Onlin. 2007. V. E63, P. o1010. DOI: 10.1107/S1600536807004163
- 16. Bawa S., Cole M.L., Dubois P. et al. // Acta Crystallogr., Sect. B: Struct. Sci. 2004. V. 60, P. 438. DOI: 10.1107/S0108768104012686
- 17. *Paital A.R.*, *Zhan J.*, *Kim R. et al.* // Polyhedron. 2013. V. 64. P. 328. DOI: 10.1016/j.poly.2013.06.003
- 18. *Dean P.A.W., Craig D.C., Scudder M.L., Dance I.G.* // Acta Crystallogr., Sect. E: Struct. Rep. Online. 2008. V. 64. P. o243. DOI: 10.1107/S160053680706463X
- 19. Murphy L.J., Robertson K.N., Harroun S.G. et al. // Science. 2014. V. 344. P. 75. DOI: 10.1126/science.1250808
- 20. *Шарутин В.В., Поддельский А.И., Шарутина О.К.* // Коорд. химия. 2020. Т. 46, № 10. С. 579. DOI: 10.31857/S0132344X20100011
- 21. *Шарутин В.В.* // Вестник ЮУрГУ. Серия «Химия». 2024. Т. 16, № 1. С. 5. DOI: 10.14529/chem240101
- 22. Schmidbaur H., Mitschke K.H. // Angew. Chem. 1971. V. 83, No. 4. P. 149. DOI: 10.1002/ange.19710830414
- 23. Sharutin V.V., Senchurin V.S., Sharutina O.K., Panova L.P. // Russ. J. Inorg. Chem. 2008. V. 53, No. 7. C. 1110. DOI: 10.1134/S0036023608070206
- 24. Bruker. SMART and SAINT-Plus. Versions 5.0. Data Collection and processing software for the SMART system. Bruker AXS Inc., Madison, Wisconsin, USA, 1998.43.
- 25. Bruker. SHELXTL/PC. Versions 5.10. An integrated system for solving, refining and displaying crystal structures from diffraction data. Bruker AXS Inc., Madison, Wisconsin, USA, 1998.
- 26. Dolomanov O.V., Bourhis L.J., Gildea R.J. et al. // J. Appl. Cryst. 2009. V. 42. P. 339. DOI: 10.1107/S0021889808042726
- 27. *Тарасевич Б.Н.* ИК-спектры основных классов органических соединений. М.: МГУ, 2012. 54 с.

Шарутин Владимир Викторович – доктор химических наук, профессор, главный научный сотрудник управления научной и инновационной деятельности, Южно-Уральский государственный университет, Челябинск, Россия. E-mail: sharutin50@mail.ru

Статья поступила в редакцию 20 марта 2025 г. The article was submitted 20 March 2025.